

© I.O. Карпенко
ТОВ «Петроплай
Рісерч і Консалтинг»

Трансгресивні секвенції XIV мікрофауністичного горизонту в межах центральної частини північного заходу Дніпровсько-Донецького басейну в зв'язку з пошуком скupчень сланцевого газу

УДК 622.324:553.983

Запропоновано циклостратиграфічну схему XIV мікрофауністичного горизонту (МФГ) у межах центральної частини північного заходу ДДЗ, уточнено циклостратиграфічні межі продуктивних горизонтів та перекриваючих їх трансгресивних товщ. Випробувано та запропоновано алгоритм для просторової локалізації об'єктів промислового значення, високоперспективних на наявність скупчень сланцевого газу, на основі переінтерпретації каротажного матеріалу, застосування принципів секвентної стратиграфії та просторового моделювання розподілу органічного вуглецю. Створено модель та побудовано карти просторового розподілу органічного вуглецю в трансгресивних товщах ділянки дослідження. Виявлено зв'язок між розташуванням високоперспективних ділянок та зон поширення однотипних умов седиментогенезу в межах ділянки дослідження.

Ключові слова: секвентна стратиграфія, секвенції, трансгресивно-регресивні цикли, нижньовізейський під'ярус, кероген, органічний вугінець, нафтогазоматеринські породи, сланцевий газ.

Предложена циклостратиграфическая схема XIV микрофаунистического горизонта в пределах центральной части северо-запада ДДВ, уточнены циклостратиграфические границы продуктивных горизонтов и перекрывающих их трансгрессивных толщ. Испытан и предложен алгоритм для пространственной локализации объектов промышленного значения, высокоперспективных на наличие скоплений сланцевого газа, на основе переинтерпретации каротажного материала, применения принципов секвентной стратиграфии и пространственного моделирования распределения органического углерода в трансгресивных толщах участка исследований. Выявлена связь между расположением высокоперспективных участков и зон распространения одинаковых условий седиментогенеза в пределах участка исследований.

Ключевые слова: секвентная стратиграфия, секвенции, трансгресивно-регрессивные циклы, нижневизейский подъярус, кероген, органический углерод, нафтогазоматеринские породы, сланцевый газ.

Sequence-stratigraphic scheme of XIV microfaunal horizon was proposed within the central part of the north-west of the DDb, cyclo-stratigraphic boundaries of productive horizons and overlying transgressive sequences were refined. Algorithm was tested and proposed for spatial localization of objects highly prospective for the presence of shale gas of industrial value based on reinterpretation of well-logging data, applying the principles of sequence stratigraphy and spatial distribution modeling of organic carbon content. The model was created, and the maps of the spatial distribution of organic carbon in the transgressive strata were created within the area of research. Relationship between the location of highly prospective areas and zones of the same conditions of sedimentogenesis was found within the area of research.

Key words: sequence stratigraphy, sequences, transgressive-regressive sequences, lower visean age, kerogen, total organic carbon, source rocks, shale gas.

Пошуки скупчень вуглеводнів неконвенційного сланцевого типу та розробка методів їх пошуку є актуальними та пріоритетними напрямами розвитку сьогоднішньої української нафтогазової промисловості.

Створення седиментаційних моделей та вивчення циклів осадконакопичення для відстеження порід із підвищеними колекторськими властивостями в межах Дніпровсько-Донецького грабену було присвячено велику кількість

наукових звітів, дисертацій та публікацій вітчизняних науковців [1–9], але трансгресивним товщам, які перекривають продуктивні горизонти, не було приділено достатньої уваги, адже їх не розглядали як потенційно нафтогазоносні.

Згідно з запропонованою тектонічно-седиментаційною моделлю осадконакопичення І.В. Карпенка [8], візейські відклади ділянки дослідження утворені двома парами послідовних трансгресій та регресій. У свою чергу, пісківська

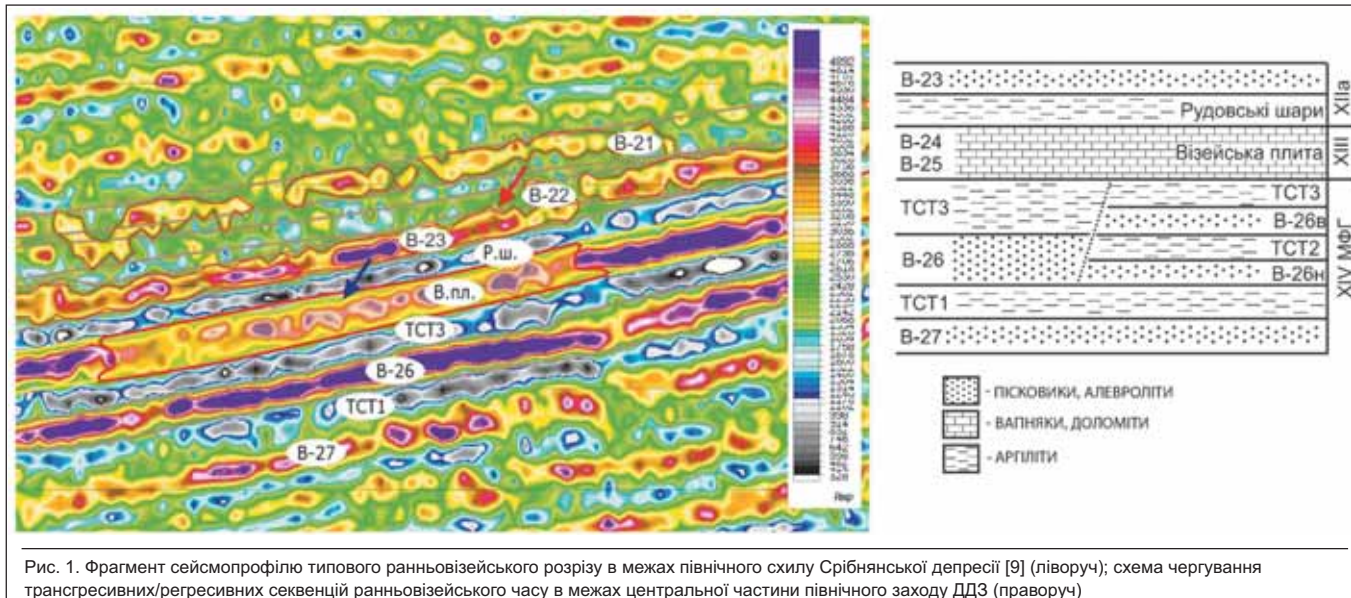


Рис. 1. Фрагмент сейсмопрофілю типового ранньовізейського розрізу в межах північного схилу Срібнянської депресії [9] (ліворуч); схема чергування трансгресивних/регресивних секвенцій ранньовізейського часу в межах центральної частини північного заходу ДДЗ (праворуч)

світа являє собою регресивну частину нижньовізейської трансгресії, в процесі якої відбувалися періодичні короткочасні затоплення Дніпровсько-Донецького авлакогену, що спричиняло утворення трансгресивних секвенцій нижчого порядку, про які йде мова у цій статті, – трансгресивних систем трактів (TCT1, TCT2, TCT3) (рис. 1). Значна частина XIV МФГ представлена трьома циклами, регресивні частини яких відповідають продуктивним горизонтам B-27, B-26 та B-26в.

Декілька років тому опубліковано роботу, яку присвячено вивчення турнейсько-нижньовізейського комплексу північного схилу Срібнянської депресії [9]. У ній зроблено акценти на дослідження регресивних частин циклів осадконакопичення, які відповідають продуктивним горизонтам B-26в, B-26н, B-27, та виявлення неантріальнальних пасток. На ілюстраціях (сейсмопрофілях) вищезгаданої публікації простежуються «низькошвидкісні» трансгресивні товщі (див. рис. 1).

Результатом виконаного дослідження та подальших робіт у цьому напрямку є апробація та удосконалення алгоритму просторової локалізації об'єктів, перспективних на наявність промислових скupчень газу неконвенційного сланцевого типу. Не менш важливим завданням, що розв'язується, є вивчення трансгресивних секвенцій у межах об'єкта досліджень та виділення ділянок підвищеної перспективності.

Методи

Секвентна стратиграфія (СС) – це геологічна дисципліна, що займається виділенням і простежуванням секвенцій у просторі та часі, вивченням закономірностей їх складу, будови та історії накопичення, а також хроностратиграфічною кореляцією на цій основі. Основоположним принципом СС є нерозривний зв'язок процесу осадконакопичення з коливаннями відносного положення рівня моря. Секвенції – це регіональні стратиграфічні одиниці, які охоплюють уесь

басейн седиментації або його частину. У вітчизняній науці прийнято використовувати терміни **формація**, **горизонт**, **осадовий комплекс** залежно від масштабу циклу осадконакопичення [10].

Для виконання поставлених завдань було прийнято й застосовано принципи, висвітлені у публікаціях [3, 7, 8, 10–13], присвячених секвентній стратиграфії, та [7, 14, 15] – циклам формування нафтогазоматеринських формаций та нафтогазоносних сланцевих формаций. Переінтерпретація геолого-геофізичних даних із позицій секвентної стратиграфії дала можливість переглянути історію осадконакопичення XIV мікрофауністичного горизонту (МФГ).

Методи математичного аналізу каротажних даних під час вивчення нафтогазоматеринських та нафтогазоносних сланцевих товщ представлено в роботах відомих науковців: Б. Майера і М. Недерхофа (1984), Дж. Мендельсона (1985), В. Фергла і Дж. Чилінджа (1988), К. Пассі (1990, 2010, 2012). У ході нашого дослідження було використано метод визначення вмісту органічного вуглецю (ВОВ) за допомогою математичної обробки каротажних даних.

В алгоритмі нового методу для розрахунку ВОВ задіяно дані неелектричних методів дослідження свердловин. Цей вибір виправданий, адже для розрахунків ми не використовуємо даних питомого електричного опору як вхідного параметра. Вищезазначені трансгресивні секвенції ТСТ1–ТСТ3 характеризуються вагомим вмістом карбонатних, залізо-карбонатних і кальцій-магнезіальних мінералів, які спричиняють позитивні чи негативні аномалії на кривих опору, що призводить до некоректного розрахунку ВОВ під час використання методик, запропонованих вище.

Об'єкт дослідження

XIV МФГ включає в себе I та II підплітові літогеофізичні товщі, які входять до складу нижньовізейсько-турнейського нафтогазоносного комплексу ДДЗ [6]. 59 родовищ вугле-

воднів (ВВ), тобто 19,4 % від загальної кількості родовищ ВВ, сконцентровано в цих відкладах. Перша товща включає 21 продуктивний поклад, друга – 131, тобто 7 покладів у горизонті В-24°, 65 покладів – у В-24, 26 покладів – у В-25, 71 покладів – у В-26 [6].

Вищезазначені факти, високий ступінь вивченості та достатня щільність глибоких свердловин, якими розкрито розріз відкладів нижнього віза, наштовхнули нас на вибір XIV МФГ у межах центральної та південно-прибортової частини південного заходу ДДЗ (Леляківська, Озерянська, Гнідинцівська, Хортицька, Білоусівська, Мехедівська, Свиридовська, Селохівська, Яблунівська, Окопівська, Луценківська, Колайдинцівська, Логовиківська, Пирятинська, Богданівська та інші площини).

Згідно з прийнятими принципами СС та обраною технікою визначення нафтогазоносного потенціалу сланцевих формаций було проінтерпретовано близько 400 каротажних кривих разом із результатами петрофізичних і геохімічних лабораторних аналізів керна та пластових флюїдів, з описами кернового матеріалу з більш ніж 45 свердловин, якими розкриті розрізи XIV МФГ у межах ділянки дослідження.

Коефіцієнти газонасиченості і пористості порід-колекторів неконвенційного сланцевого типу статистично корелюються із вмістом органічної речовини (ОР), у якій утворилися поровий простір та вуглеводневі сполуки в процесі катагенетичного метаморфізму. Термін прийнятий для визначення цієї органічної речовини – кероген, а споріднений петрофізичний параметр – вміст органічного вуглецю (ВОВ).

Після розрахунку ВОВ у розрізі обраних свердловин побудовано кореляційні профілі та уточнено стратиграфічні межі регресивно-трансгресивних циклів у розрізі XIV МФГ (рис. 1). Згідно з геохімічними дослідженнями породи здебільшого утворені глинистими мінералами (каолініт, хлорит, гідрослюди) та дрібнодисперсним кварцовим матеріалом. Другорядну роль відіграють карбонатні мінерали, сидерит, пірит та гумусово-сапропелева ОР теригенно-морського походження, що обумовлює їх підвищену радіоактивність у межах 15–30 мкР/год. У процесі дослідження було зроблено важливе спостереження, що радіоактивність трансгресивних відкладів понад 14–15 мкР/год викликана виключно вмістом керогену. Деякі автори помилково висувають твердження про підвищену радіоактивність трансгресивних відкладів XIV та XIII МФГ у зв'язку з вмістом ефузивних компонентів.

TCT1 і TCT2

У межах ділянки, яка охоплює Селохівську, Окопівську, Яблунівську та Прирічну площини, було виділено TCT1–TCT2 (рис. 2). Ці товщі відповідають екрануючим частинам пачок продуктивних горизонтів В-26н та В-27.

Збільшення співвідношення вмісту глинистої компоненти до частки уламкового матеріалу вверх за розрізом кожної зі секвенцій, що входять до складу TCT1 і TCT2, говорить про наступальний характер зміщення лінії моря в бік суходолу і збільшення глибини палеобасейну, що сприяло відкладенню і збереженню ОР (наведено тонкими чорними лініями на рис. 2).

У процесі аналізу матеріалів ГДС було зроблено важливе спостереження, що природна радіоактивність трансгресивних товщ понад 14–15 мкР/год в абсолютній більшості випадків викликана вмістом керогену.

Трансгресивні системи трактів TCT1 і TCT2 літологічно дуже подібні і представлені чергуванням домінуючих аргілітів і другорядних пісковиків та алевролітів. Аргіліти – темно-сірі до чорних, часто алевритисті чи вапністі, з піритом, сидеритом та незначним вмістом слюди, з численним рослинним детритом та значним вмістом розсіяної ОР (1–10 %), іноді з прошарками вапняків темно-сірих глинистих. Кероген характеризується значеннями водневого індексу 160 мг/г ($\text{mg}_{\text{водню}}/\text{г}_{\text{орг. орг. вуглецю}}$), а кисневого – 5 мг/г, що відповідає керогену третього типу. Він утворений із рослинних залишків теригенно-морського походження та схильний до генерації низькомолекулярних вуглеводневих сполук (BBC). Аналогічне узагальнююче твердження можна зробити про походження всієї ОР у TCT1 і TCT2 у зв'язку з літологічною подібністю та однотипним седиментогенезом. Аналіз пластових вод у продуктивних горизонтах вказує на вміст вуглеводневих газів. Вміст метану варіюється у межах 82–98 %.

На Яблунівській площині виділено трансгресивні системи трактів TCT1 та TCT2, що відрізняються зменшенням товщин, генезисом та літологічною характеристикою від описаних раніше. Пачка TCT1 виконана чорними аргілітами з підвищеним вмістом ОВ, щільними, вапністими, з вертикальними тріщинами, виконаними кальцитом, та з тонкими прошарками темно-сірих тріщинуватих сидеритів. Пачка TCT2 у межах Яблунівської площини відповідає невеликій органогенний карбонатній споруді та виконана карбонатними породами [1].

Ділянка, що об'єднує Гильцівську, Білоусівську, Голотовщинську, Мехедівську та Свиридовську площини, вміщує товщи

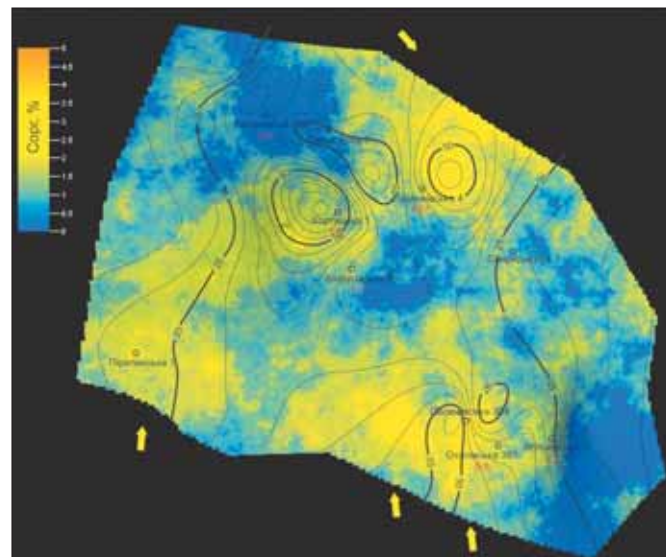


Рис. 2. Результати моделювання розподілу вмісту органічного вуглецю у відкладах TCT1; ізопахітами наведено товщини TCT1; червоними цифрами вказано значення відбивної здатності вітриніту (Ro , %); жовтими стрілками вказано напрямки зносу ОР у палеобасейн під час формування пісковської світи

TCT1 і TCT2, які характеризуються відмінною літологіко-фактуальною характеристикою, що свідчить про відмінність умов седиментогенезу порівняно з вищеописаною ділянкою. Більш депресійні умови седиментації та віддаленість формування товщі від берегової лінії палеобасейну сприяли збереженню ОР, але надходження теригенного матеріалу з суходолу було мінливим та недостатньо інтенсивним для утворення секвенцій, збагачених ОР, достатньої товщини для їх розгляду з точки зору перспективності промислового значення.

Ділянка, що об'єднує територію від лінії Луценківська–Хортицька–Гнідинцівська–Богданівська до Озерянської та Леляківської площин, характеризується однотипними умовами, за яких формувалися TCT1 і TCT2. Товща TCT1 утворена системою з семи–десяти високочастотних циклів. Вона представлена чергуванням малопотужних пачок чорних аргілітів і пісковиків та алевролітів. Пісковики дрібно- та середньозернисті, світло-сірі, кварцові з кородованими зернами, піритово-каолінітовим чи вуглисто-каолінітовим (до 25 %) чи карбонатним цементом. Пачки чорних аргілітів в абсолютній більшості випадків не перевищують товщини 5 м і характеризуються високим вмістом OB (3–7 %), подекуди в них зустрічаються включення піриту та прошарки вугілля.

Вказаний на рис. 3 розподіл значень відбивної здатності вітриніту дає змогу стверджувати, що ОР у межах TCT1–TCT3 входить у зону інтенсивної нафто- і газогенерації.

TCT3

Підплітова товща TCT3 приурочена до нижньовізейської карбонатної плити. На Окопівській та Селюхівській площинах ця парасеквенція представлена чорними, бітумінозними, карбонатно-глинистими породами з підвищеною концентрацією керогену, що формувалася в умовах внутрішнього шельфа. Кероген третього типу утворений

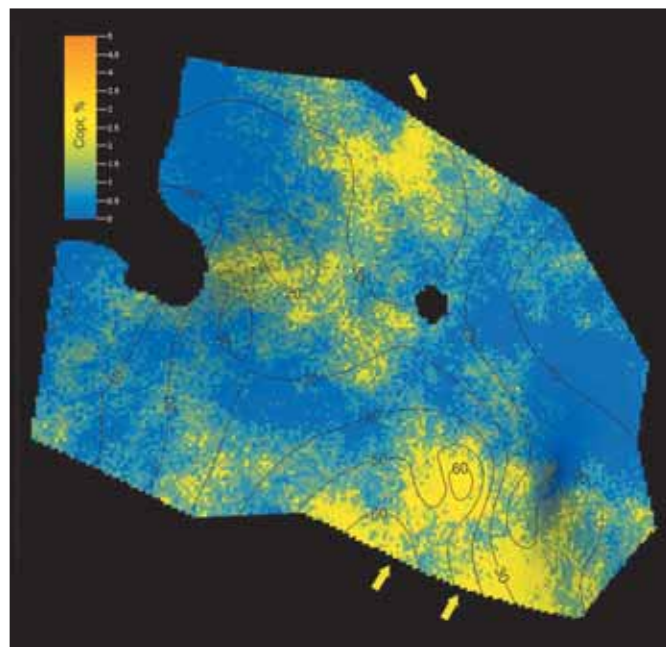


Рис. 3. Результати моделювання розподілу OB у відкладах трансгресивної товщі TCT2, на якій спостерігається зростання вмісту Сорг зі збільшенням товщини відкладів, що наведено чорними ізопахитами

рослинними рештками, BOB не перевищує 4 %. Ця ж товща спостерігається на Озерянській та Леляківській площах. Вона представлена перешаруванням мергелів та аргілітів із BOB, що не перевищує 5 %. Необхідно відмітити зменшення BOB у породах TCT3 із північного-сходу на південний-захід, що відповідає напрямку зменшення глибини палеобасейну. На Яблунівській площі відклади TCT3 виконані темно-сірими глинистими, міцними та щільними вапняками, з про-

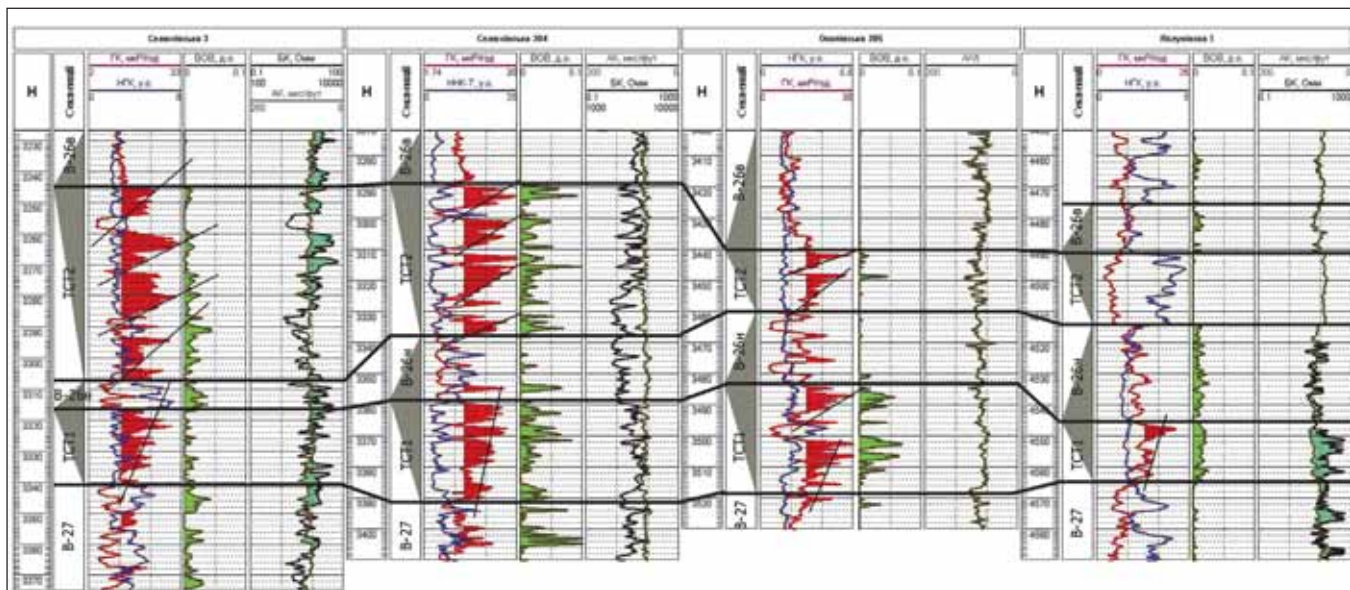


Рис. 4. Геологічний профіль по лінії св. 3-Селюхівська – 304-Селюхівська–385-Окопівська–1-Яблунівська

шарками аргілітів від темно-сірих до чорних із органічними рештками. Аналогічно також і на Прирічній площі: ця товща виконана органогенно-детритовими вапняками з високою концентрацією ОР; розрахункові значення останньої в деяких прошарках сягають 7–8 %. Із цього можемо зробити висновок, що на момент утворення трансгресивних секвенцій на інших площах Яблунівська і Прирічна площини знаходилися на палеопіднятті, що зумовило активний розвиток рифових масивів. ТСТЗ простежується практично на всіх площах, що входили в мілководно-шельфову фаціальну зону та зону внутрішнього шельфу; в абсолютній більшості випадків її товщина не перевищує 30 м. Подібне спостереження зустрічається в працях фахівців щодо утворення нижньої частини карбонатної плити, яка характеризується глинисто-карбонатно-кременевим складом та підвищеним ВОВ [1].

ДДЗ у ранньовізейський час представляла собою прибережно-акумулятивну алювіально-болотно-озерну рівнину, на яку поступово наступало море [4]. Згідно з проведеним дослідженням та попередніми публікаціями [1, 6], відклади XIV МФГ у межах центральної та південного прибортової частини північного заходу ДДЗ представлена переважно глинисто-карбонатними та глинисто-теригенними товщами, яким притаманне чергування мілководно-морських та прибережних типів порід. Надходження великої кількості органічного матеріалу наземного рослинного походження пояснюється наявністю гумідних торф'яних низовин у прибережній частині суходолу (у прибортових ділянках ДДЗ), які періодично затоплювалися, та розвинутої сітки палеорусел, що сприяли занесенню органіки в палеобасейн [4]. Було зроблено висновки про напрямок знозу ОР із суходолу, які позначені на картах-схемах жовтими стрілками (рис. 3 та 4).

Висновки

Запропоновано секвенс-стратиграфічну схему XIV МФГ у межах центральної частини південного заходу ДДЗ (див. рис. 1) та уточнено стратиграфічні межі продуктивних горизонтів В-25, В-26в, В-26н і трансгресивних товщ ТСТ1, ТСТ2 та ТСТ3, що їх перекривають, у межах ділянки дослідження.

Випробувано та запропоновано алгоритм для локалізації зон, високоперспективних на наявність скучень вуглеводнів сланцевого типу промислового значення.

За результатами співставлення карт розподілу ОВ із картами товщин трансгресивних товщ (рис. 2 та 3) було зроблено висновок про збільшення вмісту ОВ на ділянках інтенсивнішого прогинання та накопичення більшої кількості відкладів. Analogічне спостереження опублікувала С.А. Мачуліна у роботі, присвяченій вивченню рудівських шарів (2004).

Вертикальна літофаціальна та ємнісно-фільтраційна гетерогенність об'єктів вивчення ТСТ1–ТСТ3 у межах ділянки дослідження включає їх виділення як перспективних для використання технології гідророзриву пласта з подальшим видобуванням сланцевих ВВ. Проте було локалізовано ділянки (див. рис. 2 та 3), у межах яких доцільно провести наступний етап пошуку із застосуванням інтерпретації 2D/3D сейсмічних даних для виявлення локальних зон більш інтенсивного прогинання.

Автор щиро вдячний Г.Л. Бащикову, С.Г. Вакарчуку, О.М. Карпенку, В.А. Михайловой та I.B. Карпенку за консультації, витрачені на перегляд роботи час та висловлену незалежну наукову думку.

Список використаних джерел

1. Вакарчук С.Г. Геологія, літологія і фації карбонатних відкладів візейського ярусу центральної частини Дніпровсько-Донецької западини в зв'язку з нафтогазоносністю / С.Г. Вакарчук. – Чернігів: ЦНТЕІ, 2003. – 163 с.
2. Лукин А.Е. Литогеодинамические факторы нефтегазонакопления в авлакогенных бассейнах / А.Е. Лукин. – К.: Наукова думка, 1997. – 223 с.
3. Мачулина С.А. Седиментационная цикличность и методика изучения девонско-нижнекаменноугольных нефтегазоносных отложений ДДВ: дис. канд. геол. наук: 04.00.01 / Мачулина Светлана Александровна. – К., НАН України. 1995. – 212 с.
4. Макогон В.В. Літологія і палеогеографія візейських відкладів центральної частини Дніпровсько-Донецької западини (у зв'язку з нафтогазоносністю): дис. на здобуття наук. ступеня кандидата геол. наук: 04.00.21. – К., НАН України, 2007. – 150 с.
5. Полетаєв В.И. Расчленение и корреляция разнофациальных толщ нижнего и низов среднего карбона Днепровско-Донецкого авлакогена / В.И. Полетаев, Г.И. Вакарчук, Л.Т. Винниченко. – К.: ИГН НАН УССР, 1991. – 51 с.
6. Егорнова М.Г. Нафтогазоперспективні об'єкти України. Нафтогазоносність та особливості літофеофізичної будови відкладів нижнього карбону ДДЗ. – К.: Наукова думка, 2005. – 196 с.
7. Эйнзалье Г. Циклическая и событийная седиментация (пер. с англ.) / Под. ред. Эйнзалье Г., Зейлахер А. – М: Мир, 1985. – 504 с.
8. Карпенко I.B. Двоциклова модель будови візейських відкладів Дніпровсько-Донецької западини / I.B. Карпенко // Зб. наук. праць УкрДГРІ. – К., 2002. – С. 92–100.
9. Редколіс В.А. Перспективи нафтогазоносності нижньовізейсько-турніського продуктивного комплексу за даними сейсмостратиграфічних досліджень в межах північного схилу Срібнянської депресії ДДЗ / В.А. Ред-
- коліс, О.П. Вергуненко // Мат. доп. наук.-прак. конф. «Нафтогазова геофізика – інноваційні технології», 25–29 квітня 2011 р., Івано-Франківськ. – С. 186–189.
10. Габдуллин Р.Р. Секвентная стратиграфия: учебное пособие / Р.Р. Габдуллин, Л.Ф. Концевич, А.В. Иванов. – М.: МАКС Пресс, 2008. – 113 с.
11. Catuneanu O. et al. Sequence stratigraphy: Methodology and Nomenclature. – Stuttgart, November, 2011.
12. Martins-Neto M.A. Rift Sequence Stratigraphy / Martins-Neto M.A., Catanyanu O. – Marine and Petroleum Stratigraphy. – 2009. – Рр. 1–7.
13. Siliciclastic sequence stratigraphy in Well Logs, Cores and Outcrops: Concepts for High-Resolution Correlation of Time and Facies [Електронний ресурс] / J.C. Van Wagoner, R.M. Mitchum, K.M. Campion, V.D. Rahmanian // AAPG Methods in Exploration Series. – 1990. – №. 7. – Режим доступу до ресурсу: <http://www.aapg.org/publications/special-publications/cds/details/articleid/4071/methods-7-cd-siliciclastic-sequence-stratigraphy-in-well-logs-cores-and-outcrops-concepts-for-high-resolution-correlation-of-time-and-facies>. – Систем. вимоги: Pentium; 32 Mb RAM; Windows 95, 98, 2000, XP; MS Word 97–2000.
14. From Oil-Prone Source Rock to Gas-Producing Shale Reservoir – Geologic and Petrophysical Characterization of Unconventional Shale-Gas Reservoirs / International Oil & Gas Conference and Exhibition, Beijing, China. – 2010. – June 8–10. – 30 р.
15. Slatt R. M. Comparative sequence stratigraphy and organic geochemistry of gas shales: Commonality or coincidence? [Електронний ресурс] / R.M. Slatt, R.D. Norellis // Journal of Natural Gas Science and Engineering. – 2011. – Режим доступу до ресурсу: <http://www.sciencedirect.com/science/article/pii/S1875510012000091>. – Систем. вимоги: Pentium; 32 Mb RAM; Windows 95, 98, 2000, XP; MS Word 97–2000.